

# 連続流フロッキュレーターのフロック形成に関する研究

北海道大学工学部 正会員 工博 丹保 寛仁 ○学生員 渡辺 義公  
研究生 広田 浩三 同 庄司 正志

## 1. はじめに

流れ加押し出し形である様な理想的なフロッキュレーターへつづく筆者等のフロック形成に関する基礎理論を直ちに応用して設計を行なうことが出来る。<sup>(1)</sup>しかしながら、実際のフロッキュレーターは一般に3~4段程度の直列攪拌槽から成り立っており、逆混合(Back mixing)の影響を無視することが出来ない。そこで本報ではある滞留時間分布を持つ実フロッキュレーターに対する筆者等のフロック形成理論の応用について論じ、実設計への指針を得ることを試みた。

## 2. 連続流フロッキュレーター内の滞留時間分布と混合特性

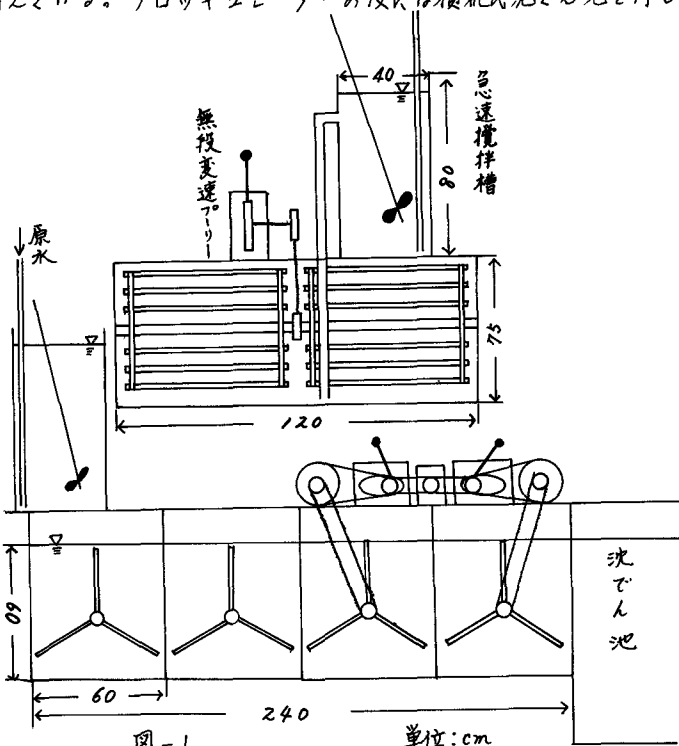
### 2-1 実験用連続流フロッキュレーター

実験用パイロットプラントは前報<sup>(2)</sup>で用いたバッチ式フロッキュレーターと同一の攪拌特性のもとで4段と直列に用いた。したがって、フロッキュレーターの攪拌特性を一括表示するのに用いられた単位体積中のエネルギー消費率( $E_0$ )と攪拌翼回転数の関係等は前報のバッチ式フロッキュレーターと同様である。装置は縦240cm、横120cm、深さ75cmの角型水槽で開孔比が6%の隔壁24つで仕切られ、水平ハドル型攪拌機を備えている。フロッキュレーターの後には横流式沈殿池を付した。装置の概要是図-1に示す通りである。攪拌翼は無段变速モーターによって5~20r.p.mの間で自由に回転数を設定出来る。

### 2-2 実験方法と混合特性の表示法

連続流フロッキュレーター内の混合特性を求めるためにNaClをトレーサーとして300~400ppm注入し、各段のフロッキュレーター・整流壁の孔に白金電極を付けトレーザー濃度の変化を電極間の抵抗の変化にして計測し、交流電流電圧測定用アリボックスと高感度記録計によつて自動記録した。

混合特性を表示するには幾つかの方法があるが<sup>(3)</sup>本報においとは残余



濃度曲線(Residence time curve)と過渡応答の2つの方針を採った。図-2のように断面積  $S$ 、長さ  $L$ 、容積  $V (= LS)$  の装置内へ濃度  $C_0$  の流体が連続的に流速  $V (= Q/S)$  で供給されている時、時刻  $t=0$  での流体の濃度を 0 として装置出口での出流体の濃度  $C$  の変化から得られる曲線を残余濃度曲線と呼び、装置の大きさ、流体の送入速度、初濃度など実験条件で異なることによる影響を除くため、通常、濃度はその時の濃度を初濃度で除した値  $C/C_0$  を、時間は無次元の時間  $\theta = t/T$  で表わして正規化していく。ここで、 $T = L/V = V/Q$  であり装置内での平均滞留時間と呼ばれる。また  $C/C_0$  は  $\theta$  と共に変化する式-1で定義した関数  $R(\theta)$  が残余濃度曲線を表わすことになる。

$$R(\theta) = C/C_0 \quad \text{---(1)}$$

図-3 は  $R(\theta)$  の例を模式的  $K$  で示したものであるが、流れがピストン流であれば  $A B C D$ 、完全混合であれば  $A H E$  の形を示すが、一般にはこれらの中間に来るもののが多く  $A F H$  のような傾向を示したり、死空間(Dead space)があるたり流体的一部分が短絡したりして  $I$  の場合  $K$  は  $A G$  のような形になる。残余濃度曲線を全く逆の方法で求められたものが過渡応答(Transient response)である。したがって、時間  $\theta$  に対する出口濃度を無次元濃度  $C/C_0$  とし関数  $f(\theta)$  と定義すれば  $R(\theta)$  の定義からも明らかのように式-2で  $K$  は  $Z R(\theta)$  と  $f(\theta)$  は交互に変換しうる。

$$f(\theta) = 1 - R(\theta) \quad \text{---(2)}$$

Dirac の  $\delta$ -関数に近似しうる形で流入されたトレーサー  $K$  に対する応答を  $E(\theta)$  とするとき  $E(\theta) d\theta$  は  $\theta = 0$  の時流入された全溶質量(これを 1 とする)  $K$  に対してその後の  $\theta$  へ  $\theta + d\theta$  の間に排出された溶質の分率を表わしている。この意味で  $E(\theta)$  は二つの滞留時間分布関数(Residence time distribution function)と呼んでいい。  $E(\theta)$  は  $R(\theta)$  や  $f(\theta)$  に対する次のような簡単な関係にある。

$$E(\theta) = df(\theta)/d\theta = -dR(\theta)/d\theta \quad \text{---(3)}$$

$$f(\theta) = 1 - R(\theta) = \int_0^\theta E(\theta') d\theta' \quad \text{---(4)}$$

### 2-3 実験結果の解析

トレーサー  $K$  による応答の例を第3槽までの残余濃度曲線にフリル示したのが図-4である。同様に完全混合槽を九個直列させた時の  $R(\theta)$  は各槽毎で物質収支をとることによって次式となる。

$$R(\theta) = e^{-\theta} \left[ 1 + \theta + \theta^2/2! + \theta^3/3! + \dots + \theta^{n-1}/(n-1)! \right] \quad \text{---(5)}$$

したがって、この場合の  $E(\theta)$  は

$$E(\theta) = df(\theta)/d\theta = \theta^{n-1} e^{-\theta} / (n-1)! \quad \text{---(6)}$$

式-5を横軸を槽列全体での滞留時間( $t/nT$ )を基準として図示すると図-5となる。図から槽数を増すと滞留時間分布の幅が狭くなり押し出し流れに近くなることが分かる。式-6を中を基準にして書き換えると式-7となる。

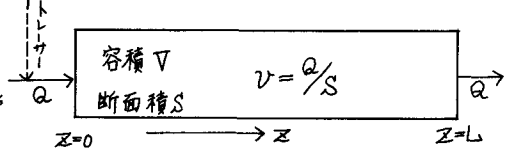


図-2

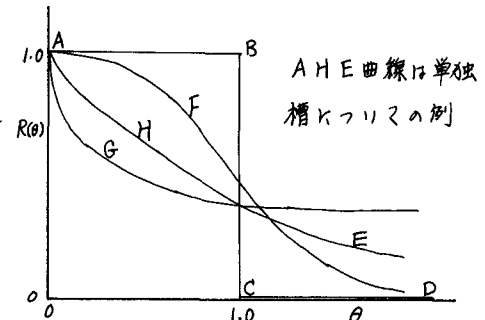


図-3

$$E(\phi) = n^n \phi^{n-1} \exp(-n\phi) / (n-1)! \quad \dots \quad (7)$$

もし本実験で用ひた個々のフロック形成槽が完全混合槽として近似的に取扱うことが出来ると言うと、図-4を横軸を中心として標準化すれば図-5と一致するはずである。実験値を第1段と3段について標準化すると図-6が得られる。図から知られるように実験値は完全混合よりも僅かな遅れを伴った混合特性を示している。遅れの原因としては槽固有のものよりもむしろ今回の実験ではトレーサー感知電極を各槽間の隔壁に取付けたのが原因で、測定されたトレーサー濃度は隣り合う2槽の濃度が混じり合つたものとなつてゐるためと考えられる。これを確かめるためには、使用したフロック形成槽を単槽として用ひて槽排出濃度を測定すれば良い。これと同様の実験は Argaman が筆者等と同型のパドル式フロッキュレーターを用ひて行なつており<sup>(4)</sup>、その結果  $G = 30 \sim 200 \text{ sec}^{-1}$  の範囲では攪拌強度は滞留時間分布に影響せず、その混合特性も完全混合を見なしても良いことを明らかにしている。

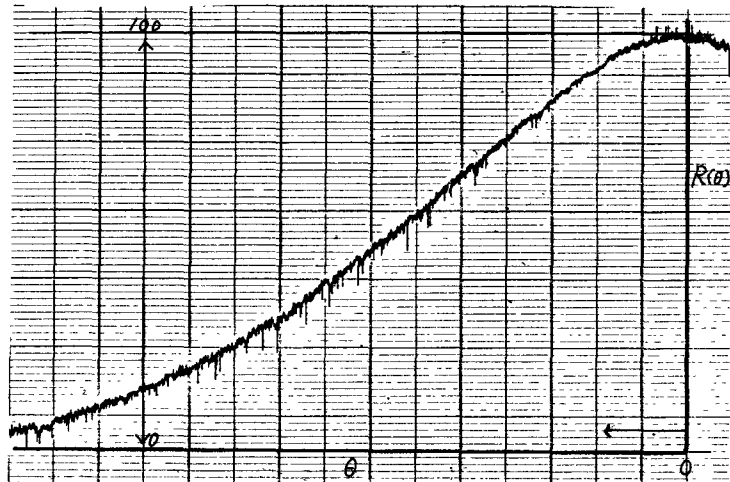


図-4

しかし、本報で用ひた遅れを無視して近似的に完全混合として取扱うこととした。なお、図-6は 13 P.M. のデータであり、13 P.M. の範囲では攪拌強度による混合特性の差違は見られず、この点は Argaman の結果と一致した。

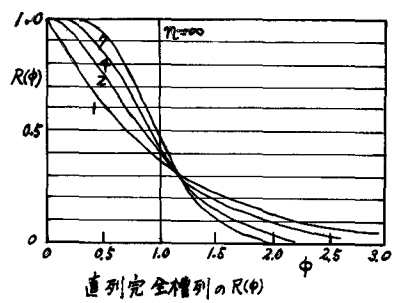


図-5

したがって、本報で用ひた遅れを無視して近似的に完全混合として取扱うこととした。なお、図-6は 13 P.M. のデータであり、13 P.M. の範囲では攪拌強度による混合特性の差違は見られず、この点は Argaman の結果と一致した。

○ 第1段 ( $n=1$ )  
● 第3段 ( $n=3$ )

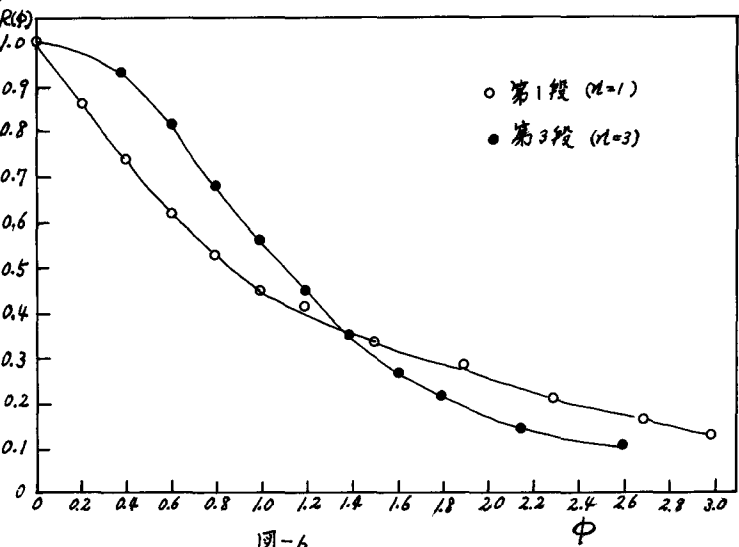


図-6

### 3 連続流フロッキュレーターでの微小粒子群の除去速度 3-1 除去速度の一般式

今、連続流フロッキュレーターが縱方向混合を伴う定常状態で操作されている場合を考える。この場合には微小粒子群の除去のパターンはバッチもしくは押し出し流れのフロッキュレーターでのそれとは異なって来る。すなまち、バッチではすべてが初期粒子と見なしうる微小フロックが互いに衝突合一し合い大形フロックへと成長しながら微小粒子群は消滅して行くが、混合を伴う連続流定常状態においてはある粒度組成を持つ大フロック群の存在するフロック形成槽内に急速攪拌を終了して微小フロック群が連続的に流入し、接触フロック形成のようない形で微小フロックが既成の微小フロック群（フロッキュレーター内を流下するにつれてフロック群は大形となる）に吸合される過程が存在する。したがって逆混合を伴う連続流フロッキュレーター内の定常状態における微小フロック群の除去は单一組成粒子の成長して行く形のフロック形成式のみによって論ずることが出来ず、既存のフロックとの相互作用を持った接觸フロック形成として各々の槽毎に考える必要がある。前報で明らかにしたように接觸フロック形成は均一一次反応であるから、流れモデルを考慮しても次のようく簡単化することが出来る。

フロック形成槽内へ初期濃度 $C_0$ の微小粒子群が連続的に供給され、槽内で吸収反応が進み遂に平均濃度 $C$ となって槽から流出して行く場合を考える。この時のフロック化されぬ初期粒子群濃度 $C$ は、そのフロック形成槽の $\delta$ -応答を $E(\delta)$ とすれば均一一次反応である場合に限り、槽内での流体の混合機構のいかんにかかわらず式(8)で示すことが出来る。<sup>(8)</sup>

$$\frac{C}{C_0} = \int_0^{\infty} e^{-K_C \phi} \cdot E(\phi) d\phi \quad \dots \quad (8)$$

$\gamma = 2$ ,  $C_0$ :初期粒子の初濃度,  $K_C$ :反応速度係数(無次元), 接触フロット形成の場合には

$$K_C = \frac{g}{\sqrt{15}} \bar{P}_n \sqrt{\epsilon_0/m} V_{ft} \quad \dots \quad (9)$$

ここで、 $E_0$ : 有効エネルギー消費率 ( $\text{erg}/\text{cm}^3 \cdot \text{sec}$ )、 $V_f$ : フロット体積(無次元)、 $t$ : 反応時間  
理論滞留時間  $\tau_{\text{理}} (\text{sec})$

$E(\phi)$ として式-7を用いると式-8は次式のよう形に積分され、第n段からの流出濃度  $C_n$  は、

$$\frac{C_n}{C_0} = \frac{1}{(1+K_{c1})(1+K_{c2})(1+K_{c3}) \dots (1+K_{cn})} \quad (10)$$

ここで、 $K_{C1}, \dots, K_{C9}$ はそれぞれ第1段…第9段までの反応速度係数である。したがって、既知の攪拌強度と滞留時間とのフロッギュレーターでは、 $\bar{H}$ と $\bar{V}_f$ を求めてやれば式-9、10より流出水中の微小フロック群の濃度を知ることが出来る。

### 3-2 二成分系フロック形成反応における $P$ と $T_F$ の関係

著しく粒径を異にする二成分系のフロック形成反応における微小粒子群の消滅速度は式-11で示される。<sup>(5)</sup>

式中の  $n_i$ ,  $V_f$ ,  $P$  は各々任意時間における着目している微小粒子数, フロック体積, 衝突分一確率であるから, 任意の瞬間ににおける微小粒子群の消滅速度は式-11によって求められる。通常の高速接触沈殿池などで用いられるフロック形成は, 与条件下における最大成長平衡分布に達した母

フロック群に対する微小フロックの吸合反応であり、この場合式は  $\bar{P}V_f = \text{一定}$  と見なすことが出来る。そこで、式-11の積分で個数比を濃度比と等しくおくと未反応率  $C/C_0$  を式-12のように解析的に求めることが出来る。

$$\frac{n}{n_0} = \frac{C}{C_0} = \exp \left( - \frac{9}{\sqrt{15}} \bar{P} \sqrt{\frac{\varepsilon}{\mu}} V_f t \right) \quad (12)$$

しかしながら、 $\bar{P}$  と  $V_f$  (具体的にはフロックの粒度組成) が割合で変化する通常のフロック形成池の過渡状態においては、式-12のような形で未反応率を得ることはできない。着目して13時間でのフロックの粒度分布が分かれれば、 $V_f$  は定まり、式-9、10Kによってフロッキュレーターからの流出水中に含まれる残存微小粒子群の濃度を算定することも出来るが、逆混合を伴う連続流フロッキュレーター内でのフロック群の粒度分布をバッチで行なったようKフロック形成基本式の数值解から求めると云ふ方法は現象へ複雑さの故に採り得ない。そこで以下に示すようなモデルを設定して未反応率を求めることとした。過渡状態においては他の条件が固定されれば、 $\bar{P} = \bar{P}(t)$ 、 $V_f = V_f(t)$  であり共に時間の関数であるから、便宜的に式-13のように两者の積が指数関数的に時間と共に変化すると仮定する。

$$\bar{P}V_f = F(t) = K_1 \left( \frac{t}{T^*} \right)^\alpha \quad (13)$$

ここで、 $t$ : フロック形成時間、 $T^*$ : フロック群が最大成長平衡に到るに要する時間、 $K_1$ : 定数、 $t = T^*$  では前報で示したようK  $\bar{P} = 1/45$  程度であるから、 $K_1 = 1/45 V_f^*$ 、 $V_f^*$  は成長平衡時ヘフロック体積式-13と式-11に代入して積分すると

$$\log \frac{n}{n_0} = \log \frac{C}{C_0} = - \frac{K_2}{\alpha+1} \left( \frac{t}{T^*} \right)^{\alpha+1} + K_3 \quad (14)$$

$$K_2 = \frac{9}{\sqrt{15}} \sqrt{\frac{\varepsilon}{\mu}} \bar{P} V_f^* T^*, \quad K_3 = \text{const} \quad (15)$$

もし式-13、したがって式-14の関係が成立するならば回分式のフロック形成を行ない、フロック形成時間の経過に伴う微小フロックの減少を追跡しその結果を横軸  $(t/T^*)^{\alpha+1}$ 、縦軸  $\log C/C_0$  をヒリプロットすると勾配が  $-K_2/(\alpha+1)$  の直線関係が得られるはずである。ただし、 $\alpha+1 > 0$ 。

実験は前報で示した回分式フロッキュレーターを用い、一定時間間隔でフロック形成槽より不搅乱採水し恒温槽槽中にサンプリング管を浸しフロック群を30分間沈降させ、上澄の50ccをホウルビペットで液を取りその中に含まれる微小粒子群の濃度を濁度として求めた。その結果を  $\alpha = -0.5 - 0.6$  としてプロットしたのが図-7である。これらから  $\alpha = -0.6$  のプロットによつてかなり良好な直線関係が得られたので、 $\alpha = 0.6$  として式-13の形で  $\bar{P}V_f$  を一括表示することが可能と考えた。直線の勾配を求めるために 8.R.P.M.C. での諸数値を式-15に代入して  $K_2$  を求め  $\alpha = -0.6$  とすると、直線の勾配は約3となり図の直線の勾配と大略一致する。

### 3-3 接触フロック形成反応における $\bar{P}$ と $V_f$ の関係

十分な成長平衡に達して13母フロック群に対する  $\bar{P}$  は実験によつて  $\bar{P} = 1/40 \sim 1/45$  と求められ、また、逆混合を持たないフロック形成における一般の衝突合一確率由数は式-16の形で示された<sup>(6)</sup>。

$$\alpha_f = \alpha_0 \left( 1 - \frac{R}{S+1} \right)^n \quad (16)$$

ここで、 $\alpha_0$ :初期衡突確率( $\neq 1/2$ )、R:着目して113衡突合併によって形成された3フロックへの初期粒子集合数、S:与条件で形成しうる最大フロックへの初期粒子集合数。

接触フロック形成における最大成長フロック群大吸合と3微フロック入衡突合-確率Rは前2報<sup>(6)(7)</sup>の成果を組み合

わせて式-17のように示される。

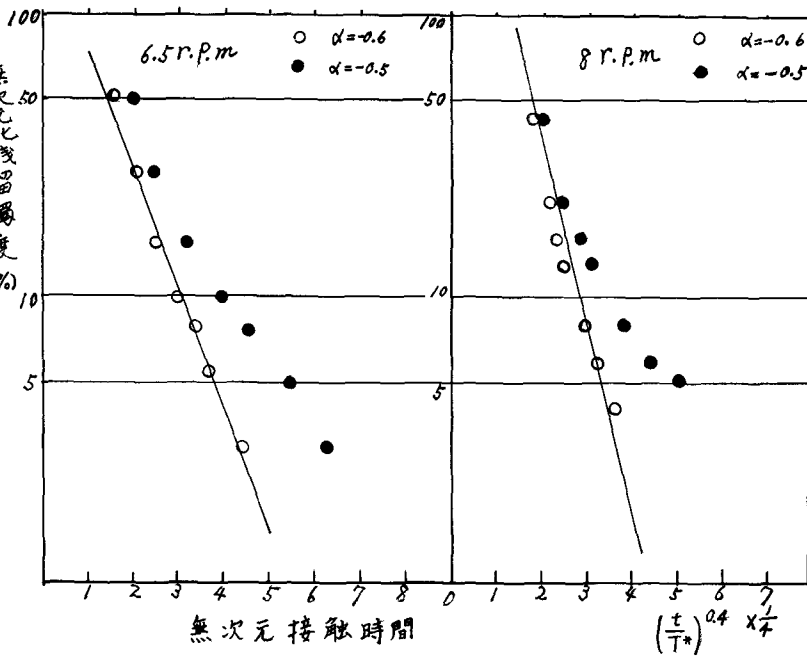


図-7

$$\bar{P} = \alpha_f = \alpha_0 \left(1 - \frac{R}{S+1}\right)^n = \frac{1}{3} \left(1 - \frac{R}{S+1}\right)^n \approx \frac{1}{40} \sim \frac{1}{45} \quad (17)$$

更に、成長平衡時におけるその時の累加フロック体積が50%を占めるフロックへの初期粒子集合数 $R_{50\text{-ult}}$ とSとの間には $R_{50\text{-ult}} \approx 0.4S$ の関係がある。累加フロック体積が50%を占めるフロックは体積基準でのフロックの代表と見なしうるので式-17から指數値は $n \approx 5 \sim 6$ となる。

実験におけると同様に数値計算によって求められたフロック群 $\bar{P}$ と式-13の関係が成立してい

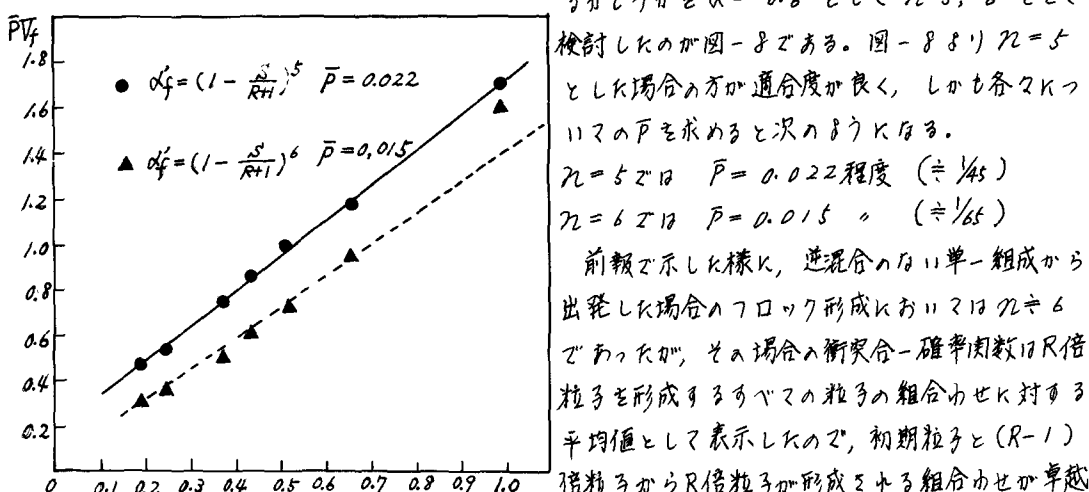


図-8

$(\frac{t}{T^*})^{0.4}$  すな接觸フロック形成におけるRは単一組成から出発する場合より若干小さくなるであろうと推

察される。したがって、既成の大形フロックと微フロックが吸合される接触フロック形成における衝突確率関数のそれはよりも小さいと程度の値となるものと考えられる。成長平衡時のフロック群へ粒度分布はすべて相似であるから上記の関係はすべての条件に対しても拡張することができる。

#### 4 連続流フロッキュレーター内のフロック粒度分布と微小粒子消滅速度の測定

##### 4-1 実験装置および方法

連続流フロッキュレーターとして図-1に示したものを利用した。実験条件は原水濃度 50 ppm 硫酸アルミニウム 30 ppm, pH=8.0 にて固定し処理流量を 50 l/min, 100 l/min フロック形成攪拌は 8 r.p.m., 10 r.p.m のそれを水2通りとした。実験方法はフロック群粒度分布の測定方法としては、フロック撮影用セルにサイフォンにより直接各フロック形成槽よりフロックを吸入し接写撮影を行なう方法を用いた。微小粒子群の消滅速度は 3-2 節で示した方法によった。

##### 4-2 連続流フロッキュレーター内の微小粒子群の消滅速度

微小粒子群消滅速度の測定結果を、横軸に槽段数れ縦軸に残留濃度 C にとって示したもののが図-9 である。図中の△印は  $Q = 100 \text{ l/min}$  の結果を○を等しくして記入したものである。これらの結果からフロック形成攪拌強度を強めると、槽分割数が増す程微小粒子群の消滅速度は大きくなる。攪拌強度を減らすと角田も同様の結果を得た。<sup>(3)</sup>

次に式-9, 10 によって微小粒子群の消滅速度を計算によって求めたところとする。  $\bar{P}_f, V_f^*$  を個々に用いずとも式-13K まとめて括して使用しうるのみ、ここでの計算を式-13 の形で用ひることとする。フロック群が最大成長平衡 K 達する十分の攪拌が与えられた場合 K は、  $\bar{P}_f$  は  $1/45$  程度でありこの時  $V_f^*$  ( $V_f^{*}$  と記す) が分かれば次のようにしてその槽より前の槽での  $(\bar{P}_f V_f)$  を算定することが出来る。すなはち、式-13 より

$$\frac{(\bar{P}_f V_f)_T^*}{(\bar{P}_f V_f)_t} = \left( \frac{T^*}{t} \right)^{-0.6} \quad (18)$$

故に

$$(\bar{P}_f V_f)_t = (\bar{P}_f V_f)_T^* \left( \frac{T^*}{t} \right)^{0.6} = 1/45 V_f^* \left( \frac{T^*}{t} \right)^{0.6} \quad (19)$$

ここで、  $T^*$  : 成長平衡 K 到達までに要するバッチでの実攪拌時間 (sec),  $V_f^*$  : 成長平衡時のフロック体積,  $t$  : 着目してある槽での実攪拌時間 ( $= V_f / Q$ ) (sec)。

$\bar{P} = 1/45$  として  $E_0$  を求めた際の母フロック形成条件が、今回と同一凝集条件でフロック形成時間を 30~40 分としたので本報においても  $T^*$  として  $Q = 50 \text{ l/min}$  での第 4 段目での滞留時間 35 分を用

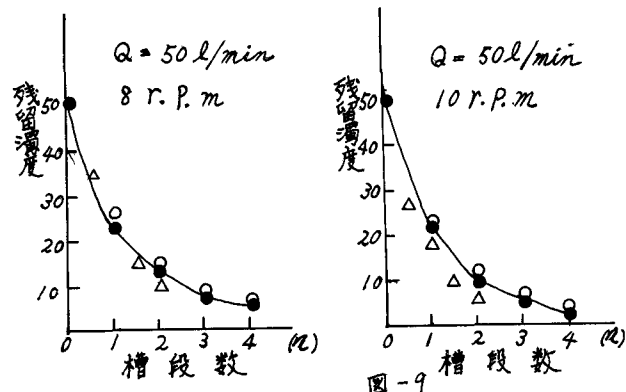


図-9

113。次節で示す如く第4段では成長平衡に至つて113。そこで  $V_f^*$  も第4段でのフロック体積を用いることとする。計算の例を  $Q = 50 \text{ l/min}$ ,  $8 \text{ r.p.m}$  にて示すと次のようである。

$$E_0 = 1.9 \times 10^{-1} \text{ erg/cm}^2 \cdot \text{sec}, M = 1.35 \times 10^{-2} \text{ poise} (\text{水温 } 11^\circ\text{C}), V_f^* = 0.45\% \quad T/n = 520 \text{ sec}$$

諸数値を式-9に代入して式-10中の  $K_{C4}$  を求めると,

$$K_{C4} = \frac{9}{\sqrt{15}} \sqrt{\frac{E_0}{M}} V_f^* P T/n = \frac{9}{\sqrt{15}} \sqrt{\frac{1.9 \times 10^{-1}}{1.35 \times 10^{-2}}} \times 0.45 \times 10^{-3} \times \frac{1}{45} \times 520 = 0.45$$

式-19より  $K_{C1}, K_{C2}, K_{C3}$  を求めると  $K_{C1} = 1.04, K_{C2} = 0.84, K_{C3} = 0.54$  となる。したがって、式-10より  $C_1/C_0 = 1/2.04, C_1 = 50/2.04 = 25^\circ, C_2 = 14.6^\circ, C_3 = 9.5^\circ, C_4 = 6.7^\circ$  となる。同様の計算を  $Q = 50 \text{ l/min}$ ,  $10 \text{ r.p.m}$  にて行なう、その結果を図-9に記入したのが図中の○印である。

#### 4-3 連続流フロックキュレーター内のフロック群粒度分布

バッチフロックキュレーターにおけるフロック形成時間すなはち無次元搅拌時間れは直ちに求めることができ出来るが、逆混合のある連続流フロックキュレーターでは槽内滞留時間に分布があるため  $m$  を一般的には適用しえない。しかしながら、成長平衡時の分布は自平衡分布となって初期条件に無関係に決まるはずであるから十分な滞留時間が与えられて槽内でのフロック群の粒度分布はバッチで得られた成長平衡時の分布とは等しいものと考えられる。 $Q = 50 \text{ l/min}$ ,  $8 \text{ r.p.m}$  の第4段(理論滞留時間35分)のフロック群の粒度分布を標準化して、バッチおよび橋田等<sup>(9)</sup>のデータと比較したもののが図-10である。

今後りに処理流量を槽容量で除した値をフロック形成時間にとり各槽での  $m$  値を求めると表-1となる。

$K_p, d_i, d_{max}$  すなはち  $S_m$  がほぼ等しいと考えられる前報<sup>(2)</sup>の無次元時間累積量曲線の図上に  $Q = 50 \text{ l/min}$ ,  $8 \text{ r.p.m}$  で各槽より得られたフロック群の沉降性を示したのが図-11である。

#### 5 おわりに

本報におけりは逆混合のある連続流フロックキュレーターにおけるフロック形成について論じた。逆混合のある連続流とバッチもしくは押し出し流れ連続流との相違の1つは、前者における濁質の一部が反応とは無関係な槽内へ流れによつてフロッ

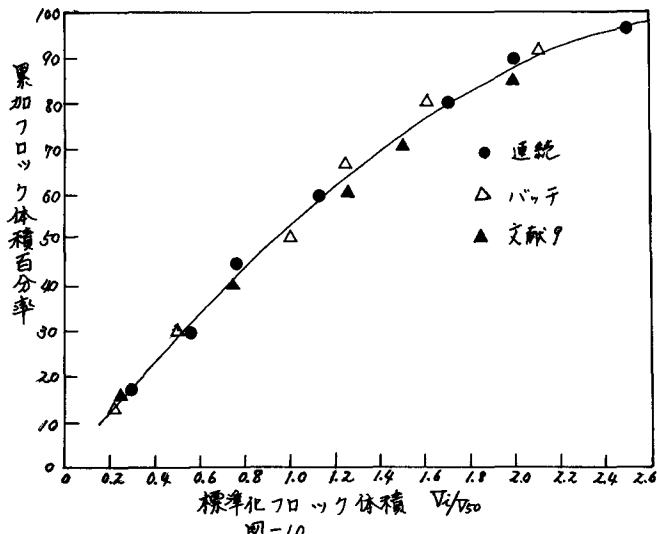


図-10

表-1

$Q/\text{r.p.m}$	8	10
1	0.35	0.42
2	0.70	0.84
3	1.05	1.26
4	1.40	1.68

ク化されることなく流出して行くことである。本報で用いたようなフロッキュレーターは直列完全混合槽群と考えても良いので同一一次反応と見なし得る微小粒子群の減歩は解析的大式-9, 10へような形で求めることができる。

逆混合があれが無次元フロック形成時間  $m$  は一義的に用いることが出来ないのを、式-9中の  $\bar{P}$  と  $V_f$  すなはち性質の槽内でのフロック群の粒度分布をバッチで求めたような形で得ることは出来ない。ここでは便法として最大成長平衡時のフロック分布が逆混合、バッチを用いて自平衡分布となるまで一致するのを、式-19にまとめて性質のフロック形成時間での  $\bar{P}$ ,  $V_f$  を一括表示して求めた。

フロッキュレーターから流出して来るフロック群の取扱いは、(1)沈降分離の対象となるフロック群の沈降性と(2)過渡期の負荷となる微小粒子群濃度とも平行して論じその結果を総合して設計値とするのが現在の所最も適当な方法と考えられる。

本研究に対する文部省科学研究費の助成を受けたことを記すと共に実験に協力頂いた当教室大学院生宇工次光賢君に感謝申し上げます。

### 参考文献

- (1) 丹保、穂積、渡辺：フロッキュレーターの合理的設計(1) 水協誌 43号 昭45.8 P.20~27
- (2) 丹保、渡辺：フロッキュレーターの合理的設計(2) 水協誌 44号 昭46.6 P.2~14
- (3) 宮内：流系操作と混合特性、続・新化学工学講座14 日刊工業新聞社
- (4) Argaman, Y.: Turbulence in Orthokinetic Flocculation. Univ. of Calif. Berkeley PhD Thesis 1968 Eng. sanit and municipal.
- (5) 参考文献(1)と同じ
- (6) 丹保、渡辺：フロッキュレーターの合理的設計(3) 水協誌投稿中
- (7) 丹保、山田、穂積：フロック強度に関する研究 水協誌 42号 昭45.4 P.4~15
- (8) 角田：凝集攪拌槽の研究(3) 水協誌 41号 昭44.2 P.2~12
- (9) 補田、栗谷、江副：平衡状態のフロックの粒度分布について 土木学会第24回年次学術講演会 昭44 P.349~350

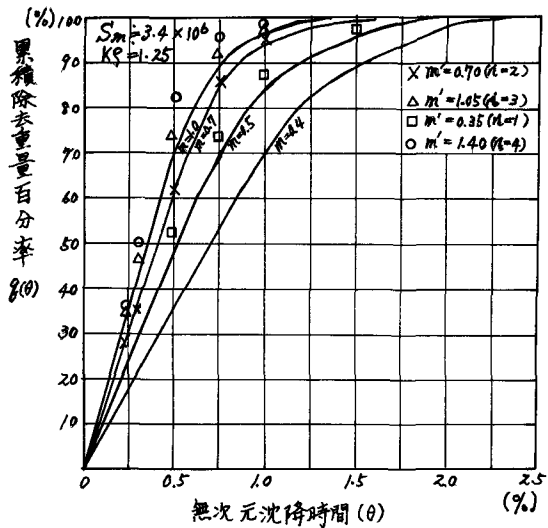


図-11